

FYZIKÁLNÍ PRAKTIKUM

Fyzikální praktiku 3

Zpracoval: Radek Žemlička

Naměřeno: 29. dubna 2009

Obor: F **Ročník:** II **Semestr:** IV

Testováno:

Úloha č. 9: Absorbce γ záření

1. Teorie

Záření gama je emitováno při přechodech atomového jádra mezi různými energiovými hladinami. Spektrum záření gama je čarové a energie bývá v rozsahu 0,05 až 3 MeV. Při průchodu záření hmotou dochází k jeho absorpci. Je-li I_0 hustota proudu částic γ , pak po průchodu látkou o tloušťce d dochází k zeslabení podle vztahu 1.

$$I = I_0 e^{-\mu d} \quad (1)$$

kde μ je lineární součinitel zeslabení, který je součtem lineárních součinitelů zeslabení pro fotoefekt, Comptonův jev a pro tvorbu elektron - pozitronových párů. Lineární součinitel zeslabení je funkci energie záření. Aby bylo možné porovnávat různé látky, zavádí se hmotnostní součinitel zeslabení $\mu_m = \frac{\mu}{\rho}$, kde ρ je hustota látky.

2. Měření a výsledky

2.1. Popis měření

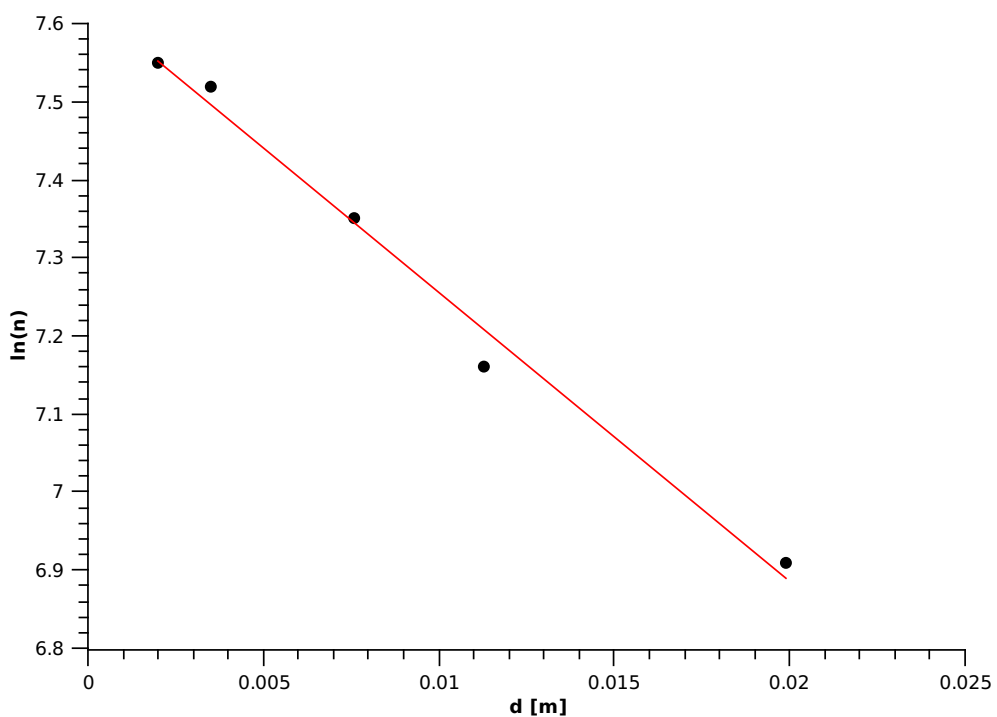
Pomocí počítace a scintilačního detektoru Cassy bylo měřeno energiové spektrum pro olovo, hliník a plexisklo v různých tloušťkách. Desky z těchto materiálů byly postupně vkládány na detektor. Doba měření byla vždy jedna minuta. Z naměřeného spektra určíme hustotu proudu γ záření pomocí integrace příslušného píku a odečtení vlivu pozadí. Vzhledem k tomu že I ze vztahu 1 je úměrné počtu detekovaných signálů N , je $-\mu$ derivací funkce $\ln n = f(d)$

2.2. Naměřené hodnoty a zpracování

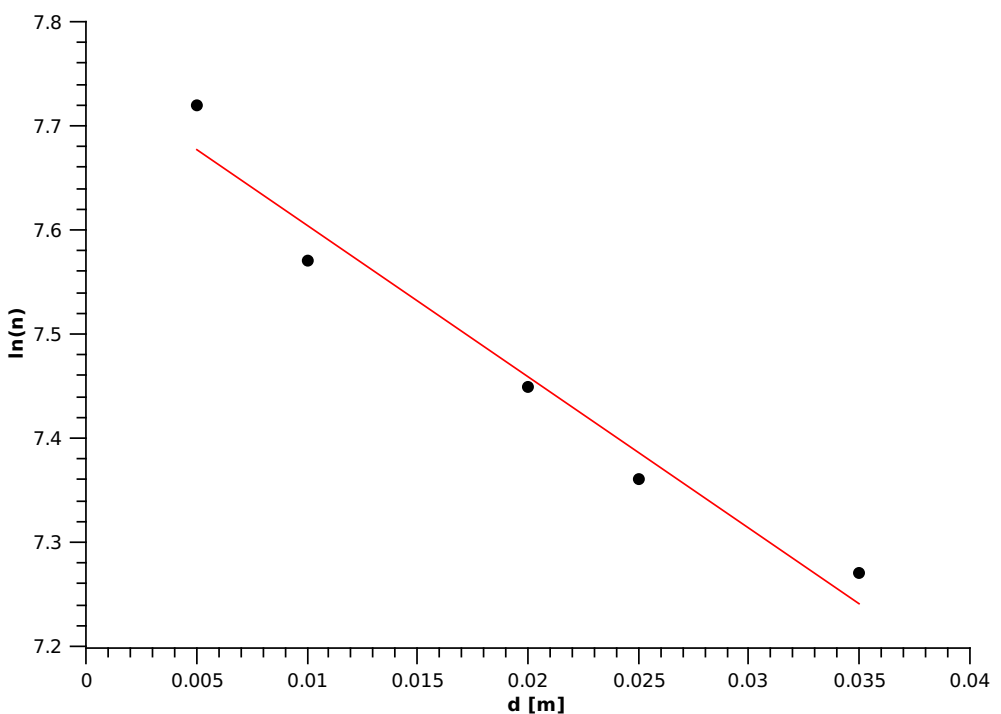
Měření pro olovo, hliník a plexisklo shrnuje tabulka 1. Závislost logaritmu počtu plsů na tloušťce pro olovo byla vynesena v grafu v obrázku 1, pro hliník v grafu v obrázku 2 a pro plexisklo v grafu v obrázku 3.

| Olovo | | | |
|-----------|------|--------------|------|
| $d[mm]$ | N | N_{pozadi} | n |
| 2,0 | 1986 | 88 | 1898 |
| 3,5 | 1943 | 100 | 1843 |
| 7,6 | 1681 | 126 | 1555 |
| 11,3 | 1427 | 136 | 1291 |
| 19,9 | 1169 | 163 | 1006 |
| Hliník | | | |
| $d[mm]$ | N | N_{pozadi} | n |
| 5 | 2354 | 93 | 2261 |
| 10 | 2040 | 106 | 1934 |
| 20 | 1827 | 103 | 1724 |
| 25 | 1681 | 111 | 1570 |
| 35 | 1548 | 108 | 1440 |
| Plexisklo | | | |
| $d[mm]$ | N | N_{pozadi} | n |
| 9,7 | 2393 | 103 | 2290 |
| 19,3 | 1856 | 77 | 1779 |
| 28,9 | 1602 | 87 | 1515 |
| 41,2 | 1519 | 96 | 1423 |

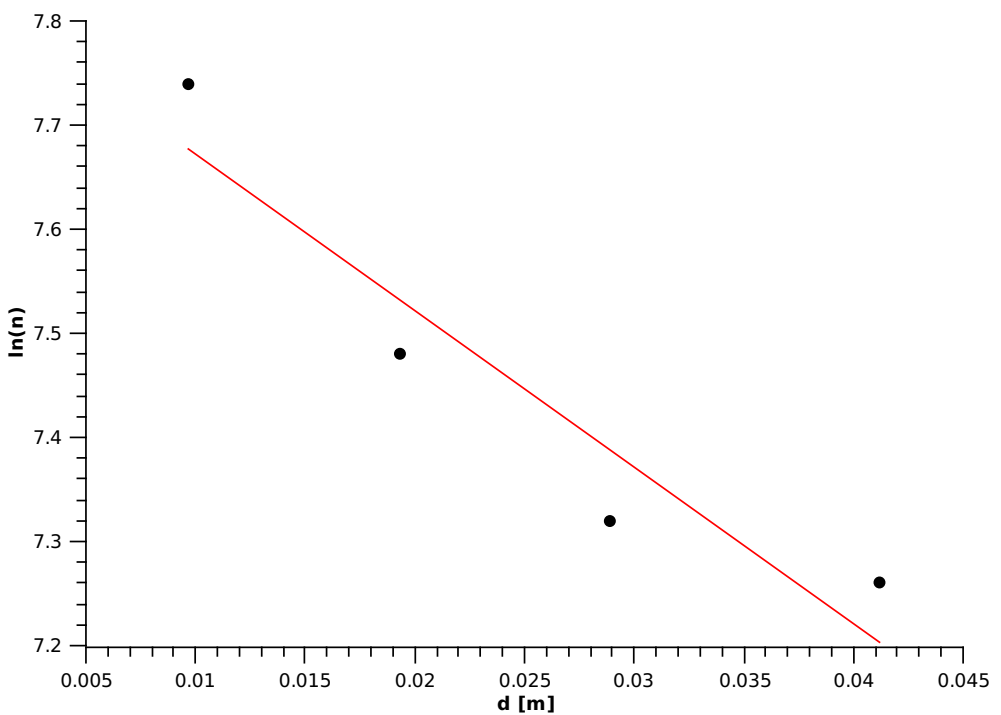
Tabulka 1: Měření počtů detekovaných pulsů v závislosti na tloušťce vrstvy. (n značí počet detekovaných pulsů od kterých byl odečten vliv pozdí)



Obrázek 1: Závislost logaritmu počtu pulsů na tloušťce pro olovo



Obrázek 2: Závislost logaritmu počtu plsů na tloušťce pro hliník



Obrázek 3: Závislost logaritmu počtu plsů na tloušťce proplexisklo

Ze směrnic grafů byli určeni lineární součinitelé zeslabení:

$$\mu_{Pb} = (37 \pm 2)m^2$$

$$\mu_{Al} = (14 \pm 2)m^2$$

$$\mu_{plexisklo} = (15 \pm 4)m^2$$

Na základě znalosti předešlých výsledků a hustot $\rho_{Al} = 2700kgm^{-3}$, $\rho_{plexisklo} = 1180kgm^{-3}$ a $\rho_{Pb} = 11340kgm^{-3}$ byly stanoveny hmotnostní součinitelé zeslabení:

$$\text{pro olovo: } \mu_m = (3,2 \pm 0,2) \cdot 10^{-3} m^2 kg^{-1}$$

$$\text{pro hliník: } \mu_m = (5,2 \pm 0,7) \cdot 10^{-3} m^2 kg^{-1}$$

$$\text{pro plexisklo: } \mu_m = (12 \pm 7) \cdot 10^{-3} m^2 kg^{-1}$$

3. Závěr

Byli určeni lineární součinitelé zeslabení pro olovo, hliník a plexisklo. Měření bylo velmi nepřesné. Nepřesnost byla pravděpodobně způsobena tím, že vliv prostředí byl měřen vždy po měření záření ze zářiče a nikoli paralelně s ním. Navíc počet vyzářených γ částic pouze statistický jev, který nelze ničím ovlivnit, a pro měření bylo vždy užito jen relativně krátkého intervalu. Přesto lze konstatovat, že výsledky měření s stabulkovými hodnotami shodují alspoň řádově.